

Formulations projectives en analyse vibratoire non régulière  
GdR ExModeli : Exploitation et Modélisation des Dynamiques Non Linéaires

Mathias Legrand

Université McGill, Montréal, Canada

28 novembre 2024



- Non-linéarités non-régulières en mécanique des structures
  - ▶ frottement sec (Coulomb) et contact unilatéral (Signorini)
  - ▶ exemple industriel : aube de turbomachines
- Formulation
  - ▶ formalisme explicite : complémentarité sous forme d'égalités et d'inégalités<sup>[1]</sup>
  - ▶ formalisme implicite : égalités non-régulières avec projection<sup>[1][2]</sup>
- Résolution temporelle
  - ▶ méthode à pas de temps ou à détection d'événements
  - ▶ méthode de tir pour les solutions périodiques
  - ▶ pénalisation, méthode des multiplicateurs de Lagrange
- Résolution fréquentielle : équilibrage harmonique
  - ▶ alternance temps/fréquence (AFT)<sup>[3]</sup> et méthode hybride temps/fréquence (HFT)<sup>[4]</sup>
    - ▶ régularisation de la non-régularité et/ou élimination de la masse à l'interface de contact
  - ▶ méthode DLFT : Dynamic Lagrangian Frequency/Time<sup>[5]</sup>
  - ▶ AFT/HFT/DLFT : Fourier en déplacement, force de contact traitée en temps (semi-primales)

---

[1] Acary and Brogliato. *Numerical methods for nonsmooth dynamical systems: Applications in mechanics and electronics*. Lecture Notes in Applied and Computational Mechanics. Springer Verlag, 2008.

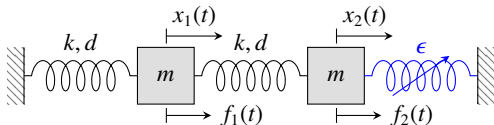
[2] Xuewen, Soh, and Wanji. "A new non-smooth model for three dimensional frictional contact problems". *Computational Mechanics* (2000).

[3] Cameron and Griffin. "An Alternating Frequency/Time Domain Method for Calculating the Steady-State Response of Nonlinear Dynamic Systems". *Journal of Applied Mechanics* (1989).

[4] Poudou and Pierre. "Hybrid Frequency-Time Domain Methods for the Analysis of Complex Structural Systems with Dry Friction Damping". *44th Structural Dynamics and Materials Conference*. 2003.

[5] Nacivet, Pierre, Thouverez, and Jézéquel. "A dynamic Lagrangian frequency-time method for the vibration of dry-friction-damped systems". *Journal of Sound and Vibration* (2003).

- Oscillateur à deux degrés de liberté avec raideur cubique



- Dynamique : inconnues  $(x_1(t), x_2(t), f_{nl}(t))$

$$m\ddot{x}_1 + d(2\dot{x}_1 - \dot{x}_2) + k(2x_1 - x_2) - f_1 = 0 \quad \text{[masse 1]} \quad (1)$$

$$m\ddot{x}_2 + d(\dot{x}_2 - \dot{x}_1) + k(x_2 - x_1) - f_2 - f_{nl} = 0 \quad \text{[masse 2]} \quad (2)$$

$$\Psi_{nl}(x_2, f_{nl}) = f_{nl} + \epsilon x_2^3 = 0 \quad \text{[raideur cubique]} \quad (3)$$

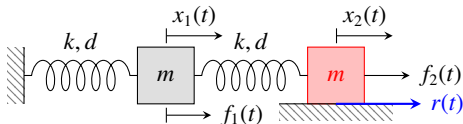
- (Re-)Formulation classique explicite

- ▶ inverser  $\Psi_{nl}(x_2, f_{nl})$  dans l'Équation (3) en  $f_{nl}(x_2) = -\epsilon x_2^3$
- ▶ insérer dans l'Équation (2)
- ▶ résoudre les Équations (1) et (2) par équilibrage harmonique

- Fonction  $\Psi_{nl}(x_2, f_{nl})$  non inversible?

- ▶ formalisme des Équations Différentielles Algébriques
- ▶ méthode de l'équilibrage harmonique

- Système



- Dynamique : inconnues  $(x_1(t), x_2(t), r(t))$

$$m\ddot{x}_1 + d(2\dot{x}_1 - \dot{x}_2) + k(2x_1 - x_2) - f_1 = 0 \quad \text{[masse 1]} \quad (4)$$

$$m\ddot{x}_2 + d(\dot{x}_2 - \dot{x}_1) + k(x_2 - x_1) - f_2 - r = 0 \quad \text{[masse 2]} \quad (5)$$

$$\Psi_r(\dot{x}_2, r) = 0 \quad \text{[Loi de Coulomb/Tresca]} \quad (6)$$

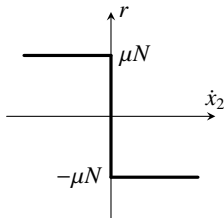
- Questions

- ▶ expression de  $\Psi_r(\dot{x}_2, r)$ ?
- ▶ inversibilité de  $\Psi_r(\dot{x}_2, r)$ ?

- Formulation<sup>[6]</sup>

$$\begin{cases} \dot{x}_2 = 0 & \Rightarrow & |r| \leq \mu N & \text{[collement ou transition glissement]} \\ \dot{x}_2 \neq 0 & \Rightarrow & r = -\mu N \dot{x}_2 / |\dot{x}_2| & \text{[glissement]} \end{cases} \quad (7)$$

- Ensemble admissible



- Problème : application multivoque  $r$  en fonction de  $\dot{x}_2$  (ou vice-versa)
  - pas d'application univoque  $r(\dot{x}_2)$  (ou  $\dot{x}_2(r)$ )
  - résolution : régularisation de la loi de frottement et/ou suppression de la masse en frottement
  - niveau-0 de la fonction implicite  $\Psi_f(\dot{x}_2, r)$ <sup>[7][8][9]</sup>  $\rightarrow$  ensemble  $(\dot{x}_2, r)$  tel que  $\Psi_f(\dot{x}_2, r) = 0$

[6] Acary, Brémond, and Huber. "On solving contact problems with Coulomb friction: formulations and numerical comparisons". *Transactions of the European Network for Nonsmooth Dynamics*. Springer, 2018.

[7] Alart and Curnier. "A mixed formulation for frictional contact problems prone to Newton like solution methods". *CMAME* (1991).

[8] Le van and Nguyen. "A weighted residual relationship for the contact problem with Coulomb friction". *Computers & Structures* (2009).

[9] Ben Dhia and Zammali. "Level-Sets and Arlequin framework for dynamic contact problems". *European Journal of Computational Mechanics* (2004).

- Expression possible<sup>[10]</sup>

$$\Psi_r(\dot{x}_2, r) = \dot{x}_2 + \min(0, \rho(r + \mu N) - \dot{x}_2) + \max(0, \rho(r - \mu N) - \dot{x}_2); \quad \rho > 0 \quad (8)$$

- Fonction niveau-0 = ensemble de Coulomb

$$\Psi_r(\dot{x}_2, r) = 0 \Leftrightarrow \left\{ \begin{array}{ll} r = \mu N & \text{si } \dot{x}_2 < 0 \\ \dot{x}_2 = 0 & \text{si } -\mu N \leq r \leq \mu N \\ r = -\mu N & \text{si } \dot{x}_2 > 0 \end{array} \right\} \Leftrightarrow \text{Équation (7)} \quad (9)$$

- Projecteur<sup>[11][12][13]</sup>

$$\text{proj}_{D(\mu N)}(r - \rho \dot{x}_2) = \begin{cases} +\mu N & \text{si } r - \rho \dot{x}_2 > \mu N \\ r - \rho \dot{x}_2 & \text{si } -\mu N \leq r - \rho \dot{x}_2 \leq \mu N \\ -\mu N & \text{si } r - \rho \dot{x}_2 < -\mu N \end{cases} \quad (10)$$

- Fonction niveau-0 = ensemble de Coulomb

$$\Psi_r(\dot{x}_2, r) = r - \text{proj}_{D(\mu N)}(r - \rho \dot{x}_2) = 0, \quad \rho > 0 \Leftrightarrow \text{Équation (9)} \quad (11)$$

[10] Leung, Guoqing, and Wanji. "Smoothing Newton method for solving two- and three-dimensional frictional contact problems". *International Journal for Numerical Methods in Engineering* (1998).

[11] Moreau. "Unilateral Contact and Dry Friction in Finite Freedom Dynamics". *Nonsmooth Mechanics and Applications*. CISM. Springer, 1988.

[12] Leine and Nijmeijer. *Dynamics and Bifurcations of Non-Smooth Mechanical Systems*. Lecture Notes in Applied and Computational Mechanics. Springer, 2006.

[13] Charroyer, Chiello, and Sinou. "Self-excited vibrations of a non-smooth contact dynamical system with planar friction based on the shooting method". *International Journal of Mechanical Sciences* (2018).

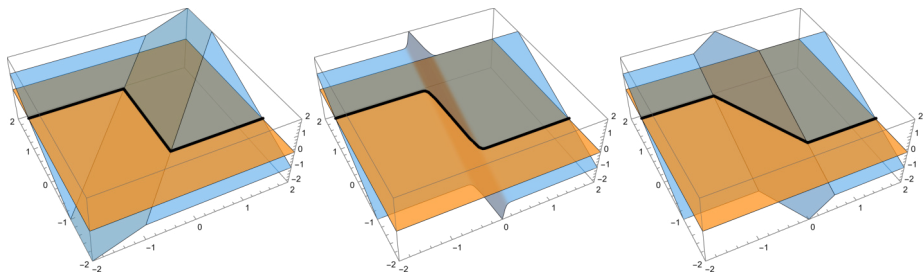


Figure 1: Fonction  $\Psi_r(\dot{x}_2, r)$  (bleu) et ensemble niveau-0 (orange). Ensemble de Coulomb  $\equiv$  intersection

De gauche à droite

- $\Psi_r(\dot{x}_2, r) = \dot{x}_2 + \min(0, r + \mu N - \dot{x}_2) + \max(0, r - \mu N - \dot{x}_2)$  [exact, non-régulier, multivoque]
- $\Psi_r(\dot{x}_2, r) = r + \mu N \tanh(\beta \dot{x}_2)$  [régulier, univoque]
- $\Psi_r(\dot{x}_2, r) = r + \mu N(\beta \dot{x}_2 + \min(1 - \beta \dot{x}_2, 0) + \max(-1 - \beta \dot{x}_2, 0))$  [non régulier, univoque]

- Dynamique

$$\Psi_1(x_1, x_2) = m\ddot{x}_1 + d(2\dot{x}_1 - \dot{x}_2) + k(2x_1 - x_2) - f_1 \cos \omega t = 0 \quad (12)$$

$$\Psi_2(x_1, x_2, r) = m\ddot{x}_2 + d(\dot{x}_2 - \dot{x}_1) + k(x_2 - x_1) - r = 0 \quad (13)$$

$$\Psi_r(\dot{x}_2, r) = \dot{x}_2 + \min(0, r + \mu N - \dot{x}_2) + \max(0, r - \mu N - \dot{x}_2) = 0 \quad (14)$$

→ Equation différentielle algébrique non-régulière

- Solution périodique approchée

$$x_i(t) \approx x_{1h}(t) = \sum_{k=1}^{N_h} x_{ik} \phi_k(t), \quad i = 1, 2 \quad r(t) \approx r_h(t) = \sum_{k=1}^{N_h} r_k \phi_k(t) \quad (15)$$

- ▶  $\phi_k(t)$  : famille de fonctions de forme
- ▶ fonctions de Fourier → HBM :  $\phi_k(t) = (\cos k\omega t, \sin k\omega t)$  dans la suite
- ▶ notation :  $(\mathbf{x}_1, \mathbf{x}_2, \mathbf{r}) \equiv (x_{1k}, x_{2k}, r_k)_{k=1, \dots, N_h}$
- ▶  $(\mathbf{x}_1, \mathbf{x}_2, \mathbf{r})$  : participations des fonctions de forme choisies → à calculer!

- Dérivées en temps terme à terme (pour  $x_1$  et  $x_2$ )

$$\dot{x}_i(t) \approx \dot{x}_{1h}(t) = \sum_k x_{ik} \dot{\phi}_k(t), \quad \ddot{x}_i(t) \approx \ddot{x}_{ih}(t) = \sum_k x_{ik} \ddot{\phi}_k(t), \quad i = 1, 2 \quad (16)$$



- Résidus pondérés → quadrature numérique si nécessaire (FFT, trapèzes)

$$\forall k, \int_0^T \phi_k(t) \Psi_1(x_{1h}(t), x_{2h}(t)) dt = 0 \quad [\text{dyn. masse 1: linéaire en } (\mathbf{x}_1, \mathbf{x}_2)] \quad (17)$$

$$\forall k, \int_0^T \phi_k(t) \Psi_2(x_{1h}(t), x_{2h}(t), r_h(t)) dt = 0 \quad [\text{dyn. masse 2: linéaire en } (\mathbf{x}_1, \mathbf{x}_2, \mathbf{r})] \quad (18)$$

$$\forall k, \int_0^T \phi_k(t) \Psi_r(\dot{x}_{2h}(t), r_h(t)) dt = 0 \quad [\text{frottement : non-régulier en } (\mathbf{x}_2, \mathbf{r})] \quad (19)$$

- Systèmes d'équations régulières et non-régulières :  $\mathbf{g}(\mathbf{x}) = \mathbf{0}$

$$(17) \rightarrow \mathbf{g}_1(\mathbf{x}_1, \mathbf{x}_2) = \mathbf{A}_{11}\mathbf{x}_1 + \mathbf{A}_{12}\mathbf{x}_2 - \mathbf{f}_1 = \mathbf{0} \quad [\text{régulière, exacte}] \quad (20)$$

$$(18) \rightarrow \mathbf{g}_2(\mathbf{x}_1, \mathbf{x}_2, \mathbf{r}) = \mathbf{A}_{21}\mathbf{x}_1 + \mathbf{A}_{22}\mathbf{x}_2 - \mathbf{A}_{2r}\mathbf{r} - \mathbf{f}_2 = \mathbf{0} \quad [\text{régulière, exacte}] \quad (21)$$

$$(19) \rightarrow \mathbf{g}_r(\mathbf{x}_2, \mathbf{r}) = \mathbf{0} \quad [\text{non-régulière, numérique}] \quad (22)$$

with

$$\mathbf{g}_{rk}(\mathbf{x}_2, \mathbf{r}) = \int_0^T \phi_k(t) \Psi_r(\dot{x}_{2h}(t), r_h(t)) dt \quad (23)$$

- Solveurs

- ▶ Newton non régulier ou similaire
- ▶ fsolve/root de Matlab®/Python® → Powell hybride : procédure à région de confiance dogleg

## Illustration de $g_{rk}(\mathbf{x}_2, \mathbf{r}) = \int_0^T \phi_k(t) \Psi_r(\dot{x}_{2h}(t), r_h(t)) dt$

- Approximation à un terme ( $\phi = \cos t$ ) (par simplicité)

$$x_{2h}(t) = a \cos t, \quad \dot{x}_{2h}(t) = -a \sin t, \quad r_h(t) = b \cos t \quad (24)$$

- Equation non-régulière de Coulomb/Tresca

$$\begin{aligned} g_r(a, b) &= \int_0^T \phi(t) \Psi_r(\dot{x}_{2h}(t), r_h(t)) dt = \int_0^T \cos t \Psi_r(-a \sin t, b \cos t) dt \\ &= \int_0^T \cos t [-a \sin t + \min[0, b \cos t + \mu N - a \sin t] + \max[0, b \cos t - \mu N - a \sin t]] dt = 0 \end{aligned} \quad (25)$$

- Approximation par somme de Riemann (par simplicité)

- ▶ discrétisation par  $N$  pas de temps sur  $[0, T]$  de longueur  $h = T/N$
- ▶  $t_i = (i-1)h, i = 0, \dots, N-1$
- ▶ intégrale approchée pour  $(a, b)$  donné

$$g_r(a, b) \approx \frac{T}{N} \sum_{i=0}^{N-1} \cos t_i [-a \sin t_i + \min[0, b \cos t_i + \mu N - a \sin t_i] + \max[0, b \cos t_i - \mu N - a \sin t_i]] \quad (26)$$

# Illustration de $\mathbf{g}_{rk}(\mathbf{x}_2, \mathbf{r}) = \int_0^T \phi_k(t) \Psi_r(\dot{x}_{2h}(t), r_h(t)) dt$

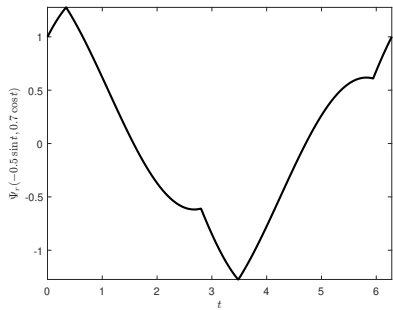


Figure 2:  $\Psi_r(\dot{x}_{2h}(t), r_h(t))$ ,  $t \in [0, 2\pi]$  et  $a = -0.5$ ,  $b = 0.7$

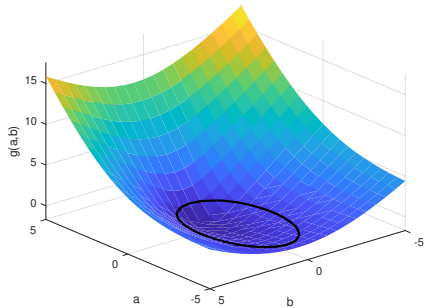


Figure 3:  $g_r(a, b)$  sur  $(a, b) \in [-5, 5] \times [-5, 5]$  et  $\mu N = 1$

- Équations (20) et (21) résolues exactement par substitution → relation affine  $\mathbf{x}_2 = \mathbf{B}\mathbf{r} + \mathbf{c}$  insérée dans l'Équation (22) →  $\mathbf{g}_r(\mathbf{x}_2(\mathbf{r}), \mathbf{r}) = \mathbf{0}$
- Jacobien *faible*

$$(\nabla_{\mathbf{r}} \mathbf{g}_r)_{kj} = \frac{\partial g_{rk}}{\partial r_j} = \frac{\partial}{\partial r_j} \int_0^T \phi_k(t) \Psi_r(\dot{x}_{2h}(t), r_h(t)) dt = \int_0^T \phi_k(t) \frac{\partial}{\partial r_j} \Psi_r(\dot{x}_{2h}(t), r_h(t)) dt \quad (24)$$

- Dérivée de fonctions composées (correct avec max et min)

$$\frac{\partial \Psi_r}{\partial r_j} = \frac{\partial \Psi_r}{\partial \dot{x}_{2h}} \frac{\partial \dot{x}_{2h}}{\partial r_j} + \frac{\partial \Psi_r}{\partial r_h} \frac{\partial r_h}{\partial r_j} \quad (25)$$

avec ( $H \equiv$  fonction de Heaviside)

$$\frac{\partial \Psi_r}{\partial \dot{x}_{2h}} = H(r_h + \mu N - \dot{x}_{2h}) - H(r_h - \mu N - \dot{x}_{2h}) \quad (26)$$

et

$$\frac{\partial \Psi_r}{\partial r_h} = 1 - H(r_h + \mu N - \dot{x}_{2h}) + H(r_h - \mu N - \dot{x}_{2h}) \quad (27)$$

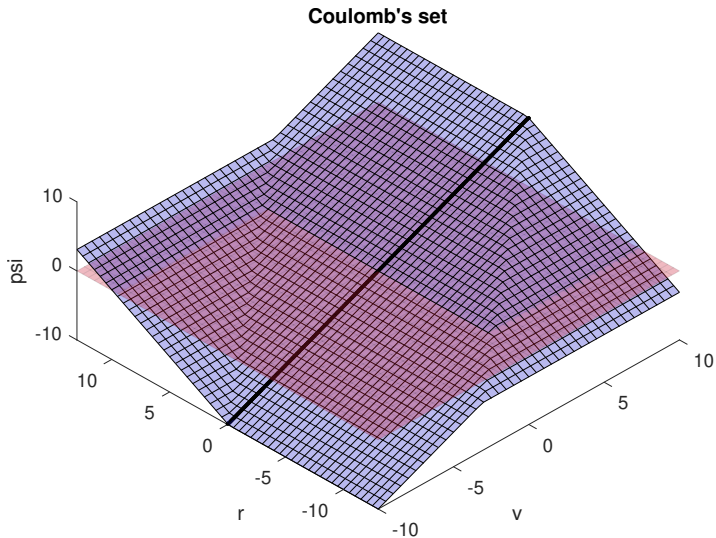


Figure 4: Itération 1

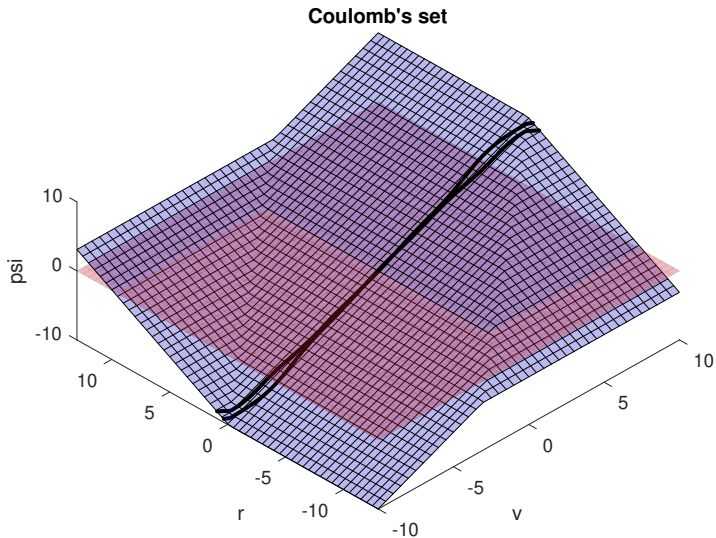


Figure 4: Itération 2

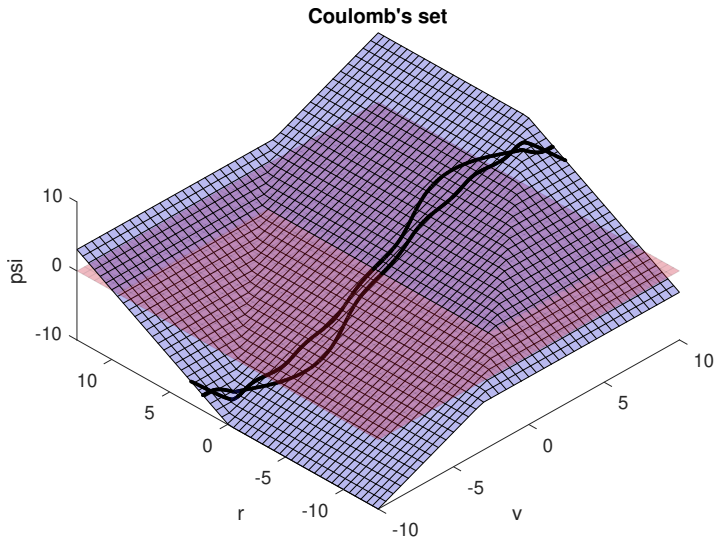


Figure 4: Itération 3

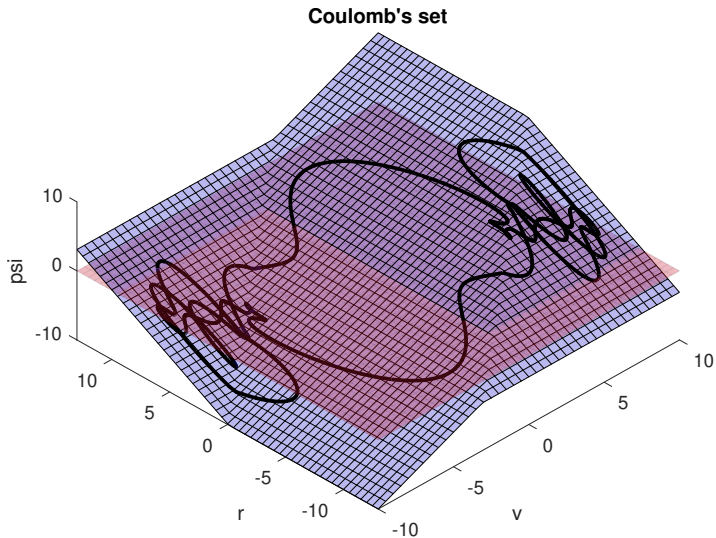


Figure 4: Itération 4



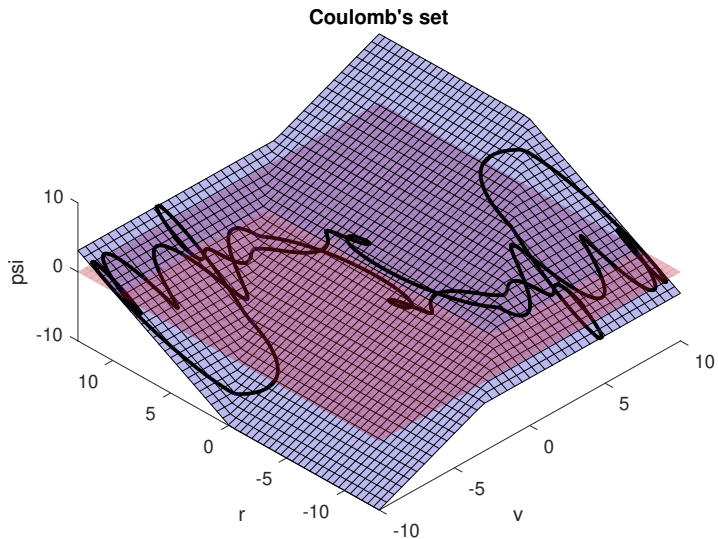


Figure 4: Itération 5

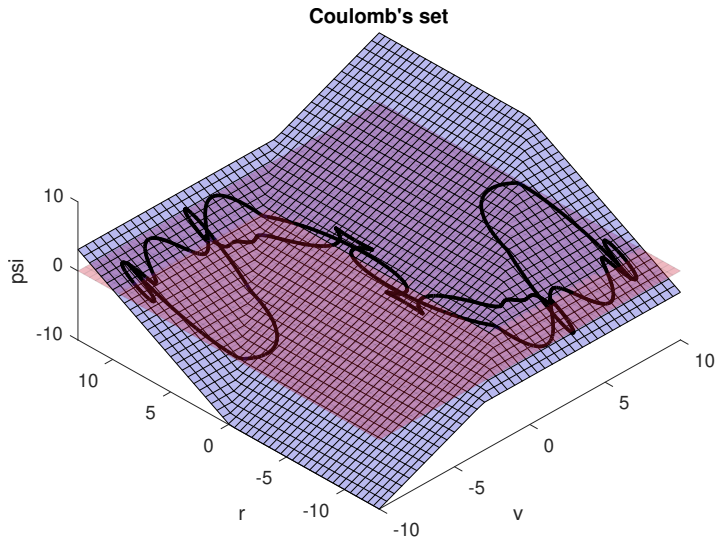


Figure 4: Itération 6

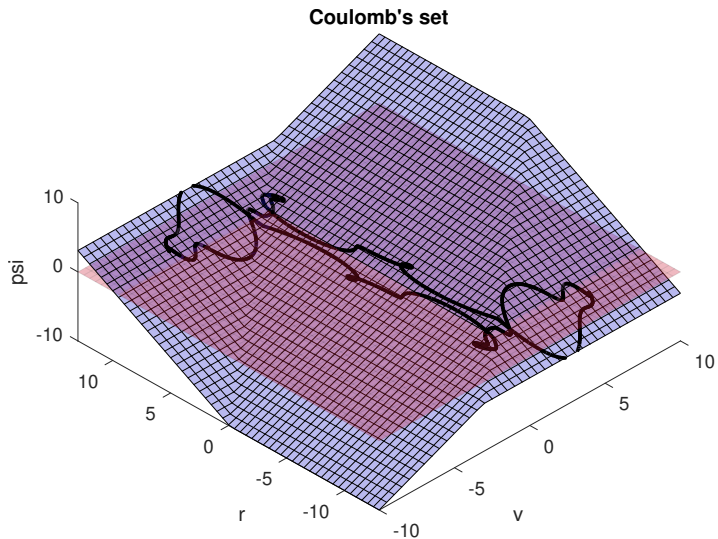


Figure 4: Itération 7

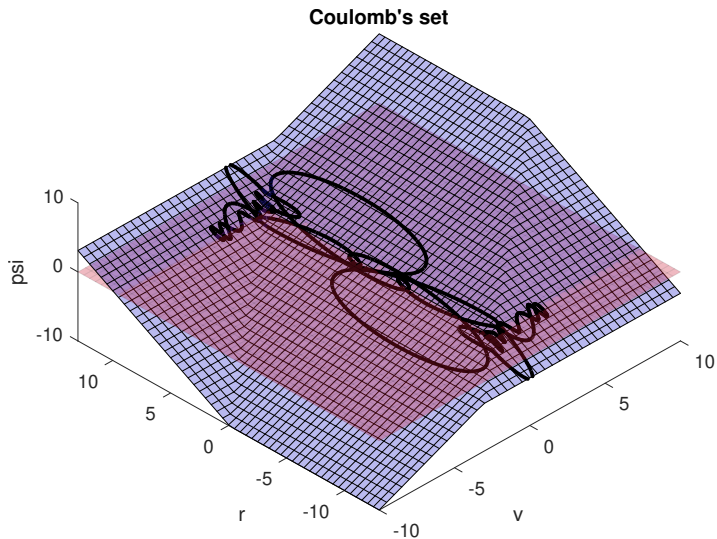


Figure 4: Itération 8

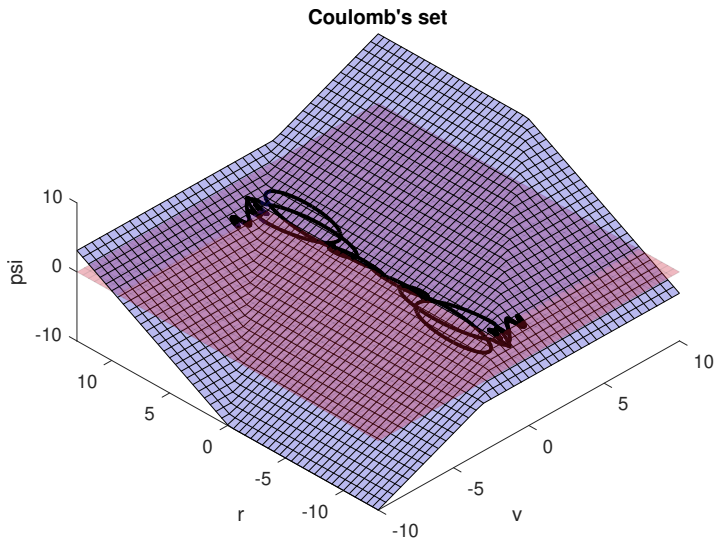


Figure 4: Itération 9

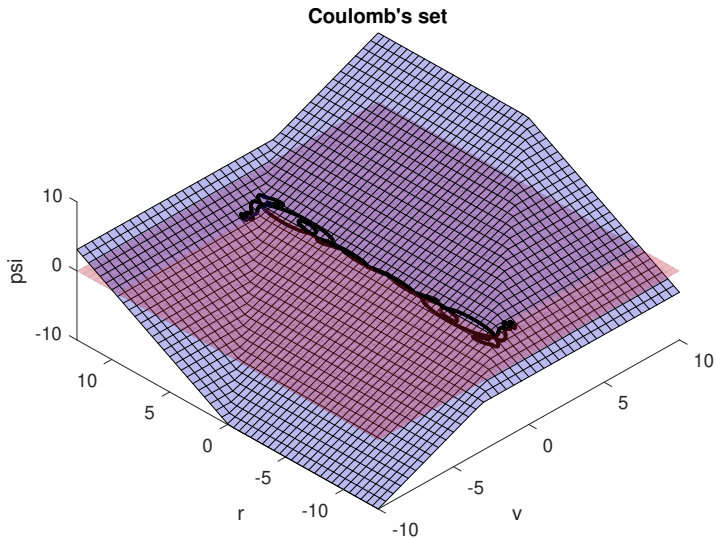


Figure 4: Itération 11

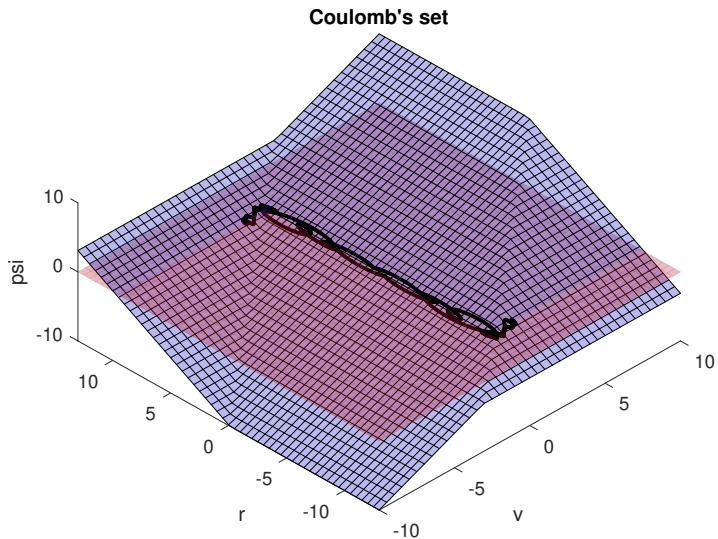


Figure 4: Itération 12

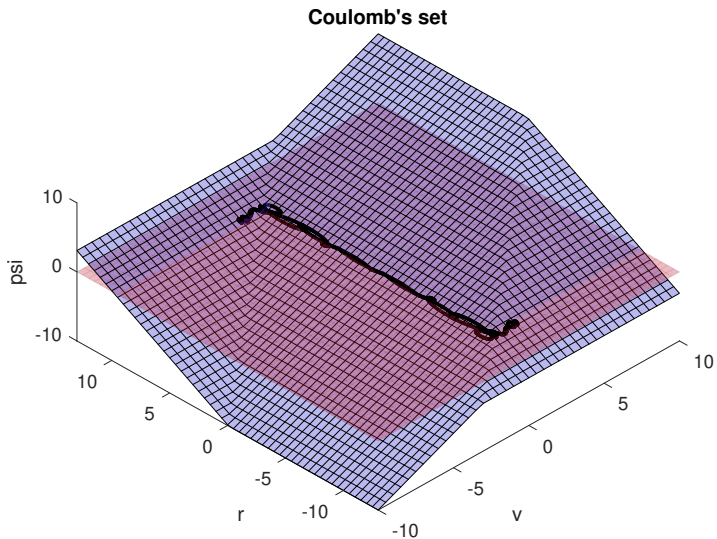


Figure 4: Itération 13



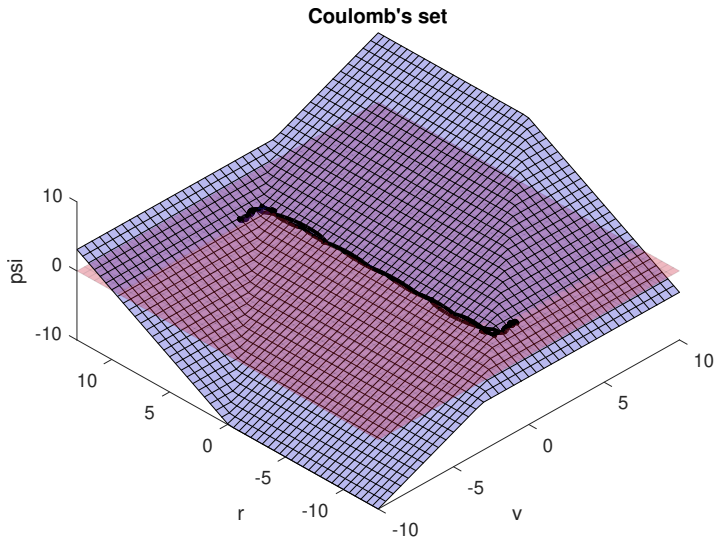


Figure 4: Itération 14

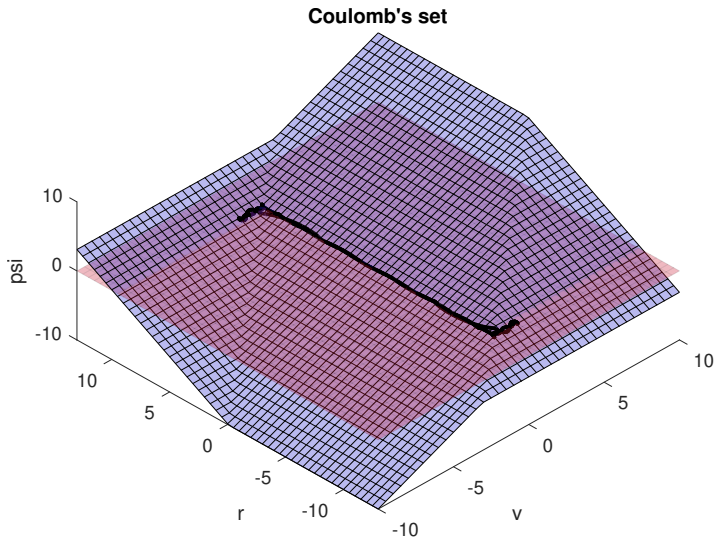
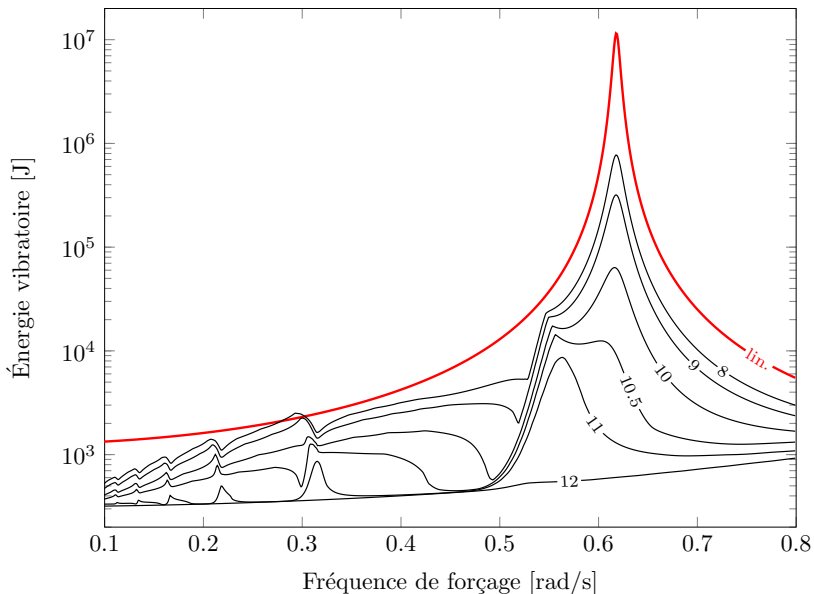
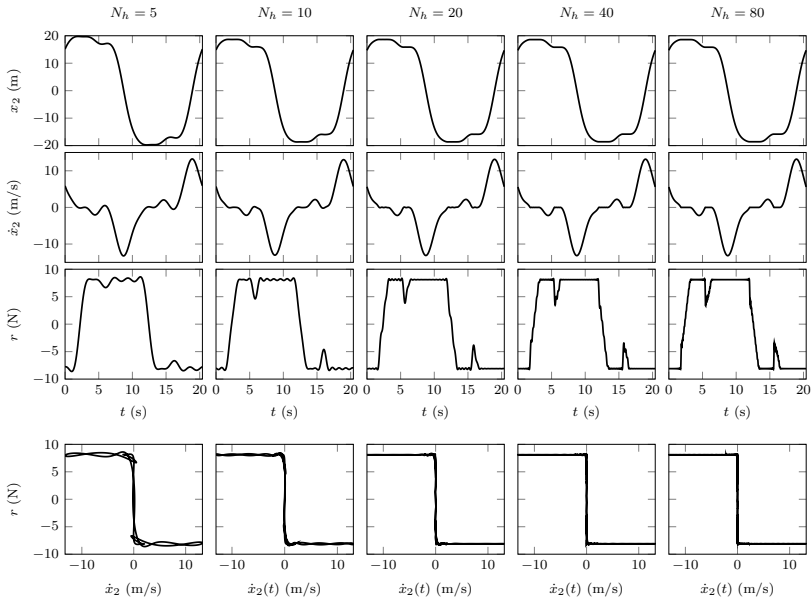


Figure 4: Itération 15

# Réponse en fréquence



# Analyse de convergence en fonction de $N_h$ ( $\phi_k = \text{Fourier}$ )



## Comparaison avec solution temporelle

- Équilibrage harmonique avec  $N_h = 80$  [rouge]
- Euler implicite ( $h = 10^{-4}$ ) [noir pointillé]
- $\omega = 0.308$  et  $N = 9$

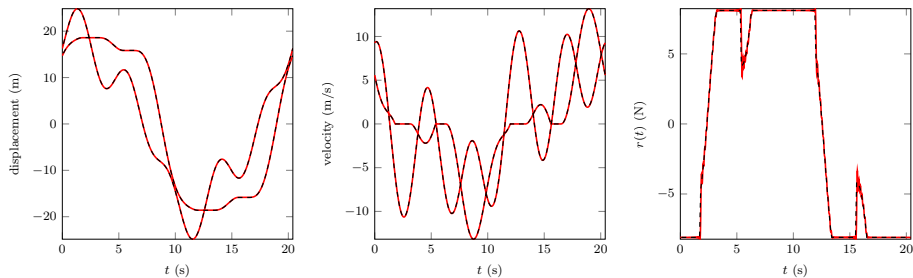
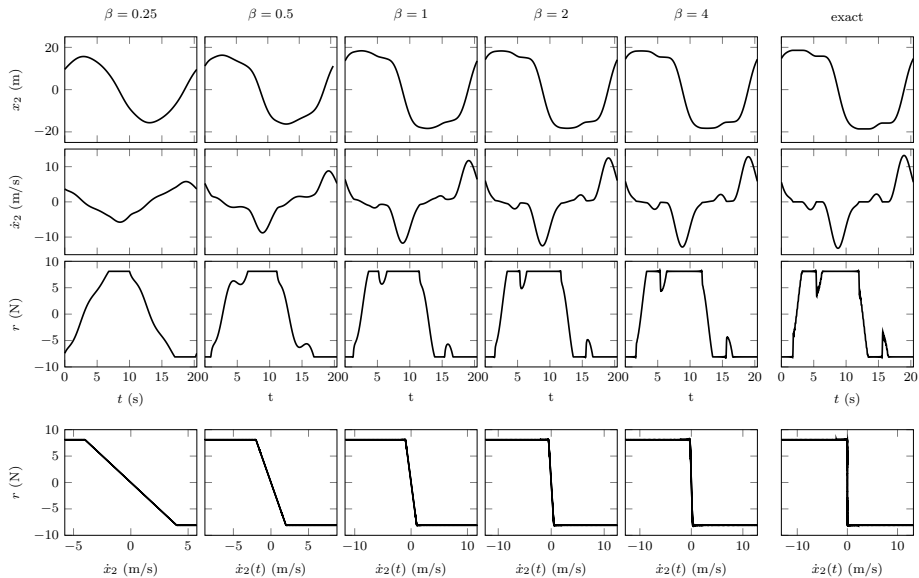
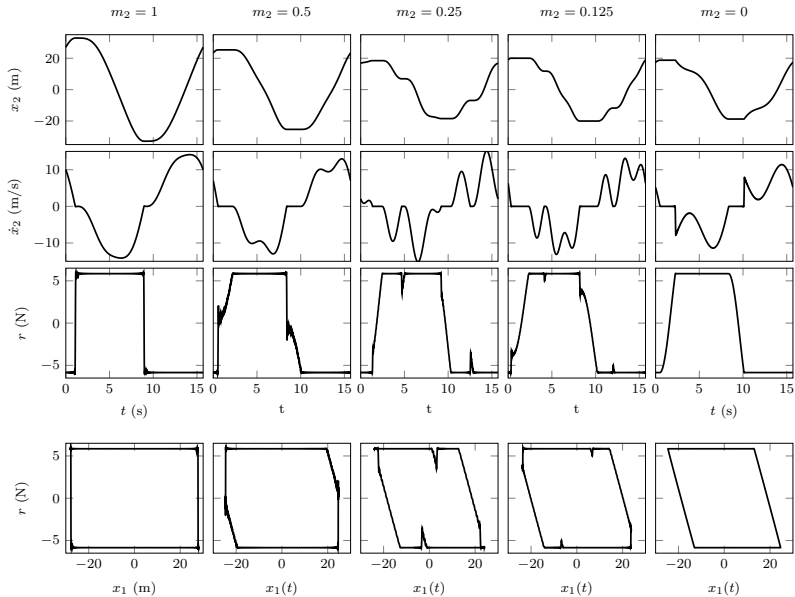


Figure 5: Solutions fréquentielle et temporelle (régime forcé) : [gauche] Déplacements  $x_1$  et  $x_2$ ; [milieu] Vitesses  $\dot{x}_1$  et  $\dot{x}_2$ ; [droite] Force de frottement  $r$

# Régularisation par morceau (paramètre $\beta$ )



# Cas $m \rightarrow 0$ (amortisseur sans masse)



- Interface de frottement surfacique: trajectoire en courbe fermée
- Méthodes de résolution existantes
  - ▶ Difficulté à déterminer la direction de frottement : angle de glissement
  - ▶ A chaque itération du solveur non-linéaire dans le domaine fréquentiel, passage dans le domaine temporel afin d'estimer la trajectoire 2D compatible avec les forces de frottement par intégration temporelle
  - ▶ Hypothèse simplificatrice de trajectoires circulaires ou elliptiques
  - ▶ Découplage des directions de glissement/frottement
- AFT/HFT<sup>[14][15]</sup> : hypothèse systématique de frotteur sans masse (sorte de régularisation)
- DLFT<sup>[16]</sup> : méthode la plus générale

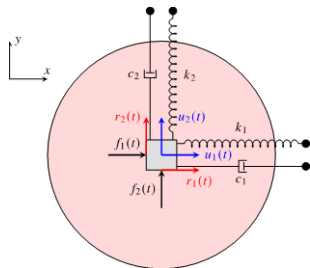


Figure 6: Oscillateur dans le plan

[14] Cameron and Griffin. "An Alternating Frequency/Time Domain Method for Calculating the Steady-State Response of Nonlinear Dynamic Systems". *Journal of Applied Mechanics* (1989).

[15] Poudou and Pierre. "Hybrid Frequency-Time Domain Methods for the Analysis of Complex Structural Systems with Dry Friction Damping". *44th Structural Dynamics and Materials Conference*. 2003.

[16] Nacivet, Pierre, Thouverez, and Jézéquel. "A dynamic Lagrangian frequency-time method for the vibration of dry-friction-damped systems". *Journal of Sound and Vibration* (2003).



- Dynamique

$$\begin{aligned} m\ddot{x}_1 + c_1\dot{x}_1 + k_1x_1 &= r_1 + f_1(t) \\ m\ddot{x}_2 + c_2\dot{x}_2 + k_2x_2 &= r_2 + f_2(t) \end{aligned} \quad (28)$$

- Formulation de Coulomb en 2D

$$\begin{cases} \|\dot{\mathbf{x}}\| = 0 \Rightarrow \|\mathbf{r}\| \leq \mu N & \text{[collement]} \\ \|\dot{\mathbf{x}}\| \neq 0 \Rightarrow \mathbf{r} = -\mu N \dot{\mathbf{x}} / \|\dot{\mathbf{x}}\| & \text{[glissement]} \end{cases} \quad (29)$$

- Égalité équivalente  $[\mathbf{r} = (r_1, r_2)$  et  $\mathbf{x} = (x_1, x_2)]^{[17]}$

$$\Psi_r(\dot{\mathbf{x}}, \mathbf{r}) = \mathbf{r} \max(\mu N, \|\mathbf{r} - \rho \dot{\mathbf{x}}\|) - \mu N(\mathbf{r} - \rho \dot{\mathbf{x}}) = \mathbf{0} \quad (30)$$

- ▶ équivalente à l'expression avec projecteur

$$\mathbf{r} - \mathbf{proj}_{D(\mu N)}(\mathbf{r} - \rho \dot{\mathbf{x}}) = \mathbf{0}, \quad \mathbf{proj}_{D(\mu N)}(\mathbf{x}) = \begin{cases} \mathbf{x} & \|\mathbf{x}\| \leq \mu N \\ \mu N \mathbf{x} / \|\mathbf{x}\| & \|\mathbf{x}\| > \mu N \end{cases} \quad (31)$$

- ▶ deux équations (non régulières) avec symétrie dans les directions 1 et 2
- ▶ Régularisation univoque classique (et raide !)

$$\mathbf{r} \|\dot{\mathbf{x}}\| + \mu N \tanh(\alpha \|\dot{\mathbf{x}}\|) \dot{\mathbf{x}} = \mathbf{0} \quad (32)$$

[17] Hüber, Stadler, and Wohlmuth. "A primal-dual active set algorithm for three-dimensional contact problems with coulomb friction". *SIAM Journal on Scientific Computing* (2008).

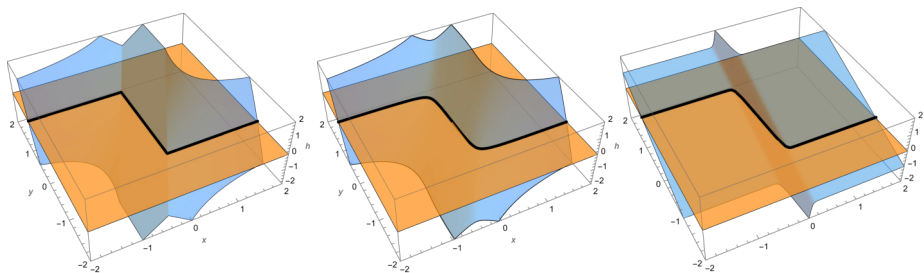


Figure 7: Fonction  $\Psi_r(\hat{x}_2, r)$  (bleu) et ensemble niveau-0 (orange). Ensemble de Coulomb  $\equiv$  intersection

De gauche à droite

- Non-régulier par projection
- Non-régulier régularisé :  $|x| \approx \sqrt{x^2 + \epsilon}$ ,  $\epsilon$  petit
- Tangente hyperbolique :  $\mathbf{r}\|\dot{\mathbf{x}}\| + \mu N \tanh(\alpha\|\dot{\mathbf{x}}\|)\dot{\mathbf{x}} = \mathbf{0}$

[implicite, multivoque, non raide]

[implicite, multivoque, non raide]

[explicite, univoque, raide]

- Quatre inconnues ( $r_1, r_2, x_1, x_2$ ) pour quatre équations type DAE  $\rightarrow$  HBM

$$m\ddot{x}_1 + c_1\dot{x}_1 + k_1x_1 = r_1 + f_1(t)$$

$$m\ddot{x}_2 + c_2\dot{x}_2 + k_2x_2 = r_2 + f_2(t)$$

$$r_1 \max(\mu N, \|\mathbf{r} - \rho\dot{\mathbf{x}}\|) - \mu N(r_1 - \rho\dot{x}_1) = 0$$

$$r_2 \max(\mu N, \|\mathbf{r} - \rho\dot{\mathbf{x}}\|) - \mu N(r_2 - \rho\dot{x}_2) = 0$$

(33)

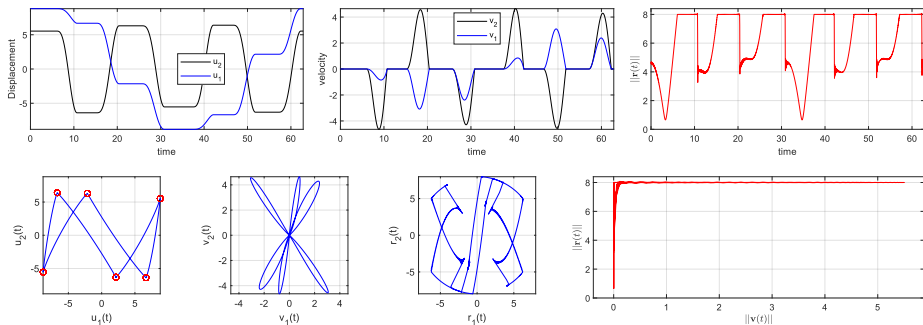


Figure 8: Trajectoire avec 4 phases de collement/glisement :  $f_1(t) = 10 \cos \omega t, f_2(t) = 10 \cos 3\omega t, \omega = 0.1$

- Quatre inconnues ( $r_1, r_2, x_1, x_2$ ) pour quatre équations type DAE  $\rightarrow$  HBM

$$m\ddot{x}_1 + c_1\dot{x}_1 + k_1x_1 = r_1 + f_1(t)$$

$$m\ddot{x}_2 + c_2\dot{x}_2 + k_2x_2 = r_2 + f_2(t)$$

$$r_1 \max(\mu N, \|\mathbf{r} - \rho\dot{\mathbf{x}}\|) - \mu N(r_1 - \rho\dot{x}_1) = 0$$

$$r_2 \max(\mu N, \|\mathbf{r} - \rho\dot{\mathbf{x}}\|) - \mu N(r_2 - \rho\dot{x}_2) = 0$$

(33)

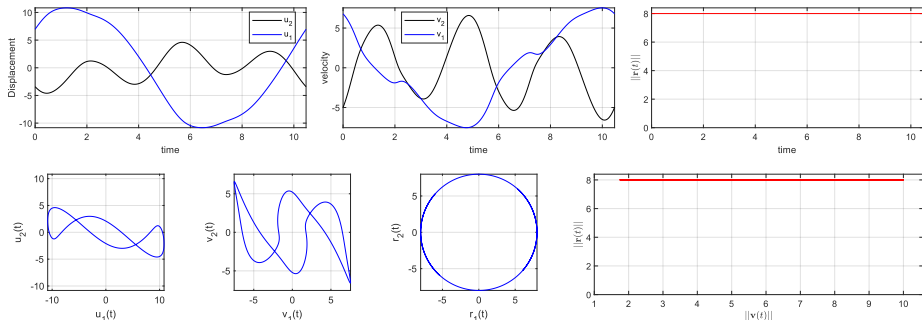
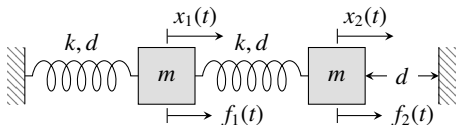


Figure 8: Trajectoire avec glissement pur :  $f_1(t) = 10 \cos \omega t, f_2(t) = 10 \sin 3\omega t, \omega = 0.6$



- Dynamique : inconnues  $(x_1(t), x_2(t), \lambda(t))$

$$m\ddot{x}_1 + d(2\dot{x}_1 - \dot{x}_2) + k(2x_1 - x_2) - f_1 = 0 \quad \text{[masse 1]} \quad (34)$$

$$m\ddot{x}_2 + d(\dot{x}_2 - \dot{x}_1) + k(x_2 - x_1) - f_2 - \lambda = 0 \quad \text{[masse 2]} \quad (35)$$

$$\lambda + \max(\rho(x_2 - d) - \lambda, 0) = 0, \quad \text{+ loi impact pour } e \neq 1? \quad \text{[contact]} \quad (36)$$

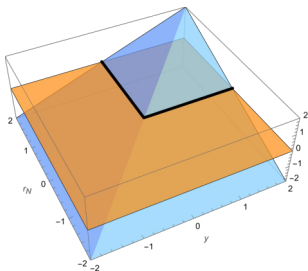
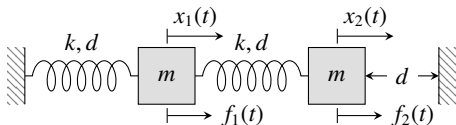


Figure 9:  $\Psi_1(x_2, \lambda)$  (bleu) et ensemble niveau-0 (orange). Ensemble de Signorini  $\equiv$  intersection



- Dynamique : inconnues  $(x_1(t), x_2(t), \lambda(t))$

$$m\ddot{x}_1 + d(2\dot{x}_1 - \dot{x}_2) + k(2x_1 - x_2) - f_1 = 0 \quad \text{[masse 1]} \quad (34)$$

$$m\ddot{x}_2 + d(\dot{x}_2 - \dot{x}_1) + k(x_2 - x_1) - f_2 - \lambda = 0 \quad \text{[masse 2]} \quad (35)$$

$$\min(\rho(x_2 - d), \lambda) = 0, \quad \text{+ loi impact pour } e \neq 1? \quad \text{[contact]} \quad (36)$$

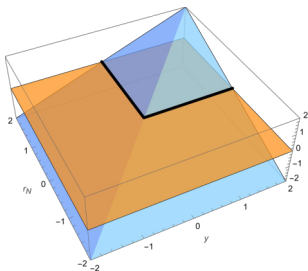
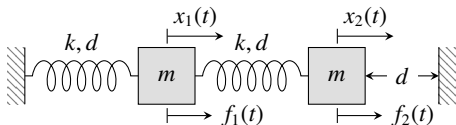


Figure 9:  $\Psi_f(x_2, \lambda)$  (bleu) et ensemble niveau-0 (orange). Ensemble de Signorini  $\equiv$  intersection



- Dynamique : inconnues  $(x_1(t), x_2(t), \lambda(t))$

$$m\ddot{x}_1 + d(2\dot{x}_1 - \dot{x}_2) + k(2x_1 - x_2) - f_1 = 0 \quad \text{[masse 1]} \quad (34)$$

$$m\ddot{x}_2 + d(\dot{x}_2 - \dot{x}_1) + k(x_2 - x_1) - f_2 - \lambda = 0 \quad \text{[masse 2]} \quad (35)$$

$$-(x_2 - \lambda)^2 + |x_2|x_2 + |\lambda|\lambda = 0, \quad \text{+ loi impact pour } e \neq 1? \quad \text{[Fisher Burmeister]} \quad (36)$$

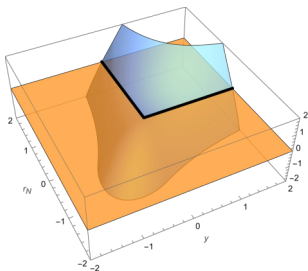
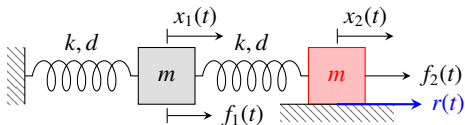


Figure 9:  $\Psi_f(x_2, \lambda)$  (bleu) et ensemble niveau-0 (orange). Ensemble de Signorini  $\equiv$  intersection



- Dynamique : inconnues  $(x_1(t), x_2(t), r(t))$

$$m\ddot{x}_1 + d(2\dot{x}_1 - \dot{x}_2) + k(2x_1 - x_2) - f_1 = 0 \quad \text{[masse 1]} \quad (37)$$

$$m\ddot{x}_2 + d(\dot{x}_2 - \dot{x}_1) + k(x_2 - x_1) - f_2 - r = 0 \quad \text{[masse 2]} \quad (38)$$

$$\dot{x}_2 + \min(r + (1 + \frac{1}{2} \exp(-2\dot{x}_2)) - \dot{x}_2, 0) + \max(r - (1 + \frac{1}{2} \exp(2\dot{x}_2)) - \dot{x}_2, 0) \quad \text{[Stribeck]} \quad (39)$$

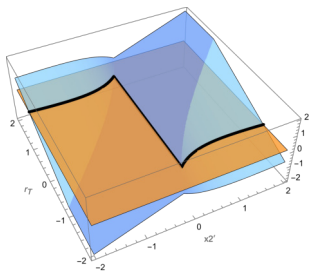


Figure 10:  $\Psi_r(\dot{x}_2, r)$  (bleu) et ensemble niveau-0 (orange). Ensemble de Coulomb-Stribeck  $\equiv$  intersection



- Méthode de résolution
  - ▶ formulation mixte (primale-duale) : pas d'intégration en temps des forces de contact
  - ▶ facilité de programmation, robustesse numérique
  - ▶ pas de régularisation/pénalisation, pas d'élimination de masse au contact<sup>[18]</sup>
  - ▶ paramètre  $\rho = 1$  mais à adapter aux amplitudes de  $r$ ,  $\mu N$  et  $\dot{x}_2$
- Travail à venir
  - ▶ étude avec d'autres fonctions de forme  $\{\phi_k(t)\}$  : ondelettes ?
  - ▶ extension à des modèles de frottement plus avancés (Stribeck)
  - ▶ points de contact localisés multiples
  - ▶ application à des systèmes industriels (roues aubagées)
- Problèmes ouverts
  - ▶ nombre d'harmoniques différent pour déplacement, vitesse et force
  - ▶ couplage Signorini/Coulomb avec séparation → problème de la loi d'impact
  - ▶ adaptation au calcul de modes non linéaires de système avec frottement
  - ▶ force de frottement/contact distribuée : méthode de MORTAR ?
  - ▶ stabilité des solutions : valeurs propres du jacobien faible + Koopman<sup>[19]</sup> ?
- Article et code
  - ▶ Legrand & Pierre, "A compact, equality-based weighted residual formulation for periodic solutions of systems undergoing frictional occurrences", Journal of Structural Dynamics, 2024; [\[hal-04189699\]](#)
  - ▶ *Equal[iseR]*; [\[hal-04525598\]](#)

---

[18] Baek and Epreanu. "Contact model identification for friction ring dampers in blisks with reduced order modeling". *International Journal of Non-Linear Mechanics* (2020).

[19] Bayer and Leine. "Sorting-free Hill-based stability analysis of periodic solutions through Koopman analysis". *Nonlinear Dynamics* (2023).